



## Original Paper

## Identify Hidden Designs in Antique Paintings Using Industrial Radiography



Mahdi Mirzapour<sup>1\*</sup>, Effat Yahaghi<sup>2</sup>, Maryam Ghiasi Limenjubi<sup>3</sup>, Jose Antoni Madrid Garcia<sup>4</sup>, Amir Movafeghi<sup>5</sup>

<sup>1</sup> Assistant Professor, Department of Mathematics, Bu-Ali Sina University, Hamedan, IRAN

<sup>2</sup> Associate Professor, Department of Physics, Imam Khomeini International University, Qazvin, IRAN

<sup>3</sup> Student, Department of Physics, Imam Khomeini International University, Qazvin, IRAN

<sup>4</sup> Professor, University Institute of Repair, Valencia Polytechnic University, Valencia, SPAIN

<sup>5</sup> Associate Professor, Reactor and Nuclear Safety Research School, Nuclear Science and Technology Research Institute, Tehran, IRAN

Received: 09/24/2020

Accepted: 12/15/2020

### Abstract

In past centuries, to prevent exquisite paintings, new works of art were painted on them. To identify the hidden paintings on the board, using digital radiography as a non-destructive testing method is recommended. Some phenomenon such as photon scattering, different types of noises, etc. causes on the quality of output radiographs. In this paper, we use two pyramid-based techniques, i.e., the Gaussian pyramid method and the Laplacian pyramid method, to improve the quality of radiographs. The experimental results show the effectiveness of applied techniques for identifying the hidden paintings.

**Keywords:** Hidden designs, Antique paintings, Industrial radiography, Image processing, Gaussian Pyramid Method, Laplacian Pyramid Method.

### Introduction

Artwork in museums is a major source of scientific, historical, and other research related to archeology. Different risks such as rupture, discoloration, and biodegradation threaten the paintings. Insect's attack, natural disasters, and temperature changes are some other risk factors [1-3].

Preservation of art pieces is an essential and challenging task during wars and different social events. In the past, new works of art were painted on existing paintings to prevent the burning of exquisite ones that were not compatible with the post-war social conditions [4-7]. Examples are including portraits of celebrities and leaders. This could also be done due to a lack of raw materials and the obsolescence of many paintings. In some cases, these works were painted by various artists, and there is no information about the process of their changes. There are various methods for detecting defects and hidden designs of boards [6-10]. Regarding the materials used in different layers that are different in each historical period, useful information can be obtained about the designs and other artwork properties. An important issue in art paintings is their preservation and identification of defects without damaging the painting. Various non-destructive techniques are used for this purpose [11-15]. Radiographic examination is an important part of non-destructive testing [16-19]. In radiography, latent patterns and serious damage are revealed due to the

\* Corresponding author: m.mirzapour@basu.ac.ir

Copyright© 2020, the Authors / This open-access article is published under the terms of the Creative Commons Attribution-NonCommercial 4.0 International License which permits Share (copy and redistribute the material in any medium or format) and Adapt (remix, transform, and build upon the material) under the Attribution NonCommercial terms

penetration of X-rays into the underlying layers. X-rays can reveal the hidden image of a painting on different layers [20-22]. Before using the radiographic test, the thickness of the painting layers leads the experts to believe that the painting is not the original and another design has been drawn on it. Radiographic images may suffer from the photons scattering, different noises, geometrical unsharpness, and blurring effects. The quality of the radiographic images can be reduced by those phenomena. Image processing methods can be used to increase the quality of radiographs [23-27].

## Methods

### Gaussian and Laplacian Pyramids methods

In this research, by using the sub-sampling approach, we constructed an image pyramid, e.g., Fig. 1-A, which leads to two pyramid-based methods, namely the Gaussian pyramid and the Laplacian pyramid [28,29]. The Laplacian pyramid will be constructed based on the Gaussian pyramid, i.e., there is a relationship between Gaussian and Laplacian Pyramids, see Fig. 1-B for more details. The mentioned methods are user-friendly (due to the small number of input parameters), easy to implement and also have low computational cost [28]. Therefore, these methods can be used to improve the quality and reduce the opacity of radiographs. In the following, we briefly describe these methods. We begin with the Gaussian pyramid. Let  $I = g_0$  be the input noisy image, i.e., the base of the pyramid. Each layer in the pyramid will be constructed by a reduction operator in the following form

$$g_\ell(i, j) = \sum_{m=-2}^2 \sum_{n=-2}^2 w(m, n) g_{\ell-1}(2i + m, 2j - n),$$

where  $w = \hat{w} \times \hat{w}^T$  is a Gaussian window (filter). In this research, we set

$$\hat{w}^T = [0.0625 \ 0.25 \ 0.375 \ 0.25 \ 0.0625].$$

It is known that the Laplacian pyramid provides an extra level of analysis as compared to the Gaussian pyramid by breaking the image into different isotropic spatial frequency bands [28]. Assume that  $g_\ell$  and  $g_{\ell+1}$  represent two successive layers (scales) of the Gaussian pyramid. The  $\ell^{th}$  layer of the Laplacian pyramid is defined in the following form

$$L_\ell = g_\ell - \text{expand}(g_{\ell+1}), \quad (2)$$

where the operator  $\text{expand}(g_{\ell+1})$  up-samples layer  $g_{\ell+1}$  by doubling its size and defined as follows

$$\text{expand}(g_{\ell+1}(i, j)) = 4 \sum_{m=-2}^2 \sum_{n=-2}^2 w(m, n) g_{\ell+1}\left(\frac{i-m}{2}, \frac{j-n}{2}\right). \quad (3)$$

Therefore, the denoised image can be obtained in the following form

$$\hat{g}_0 = L_0 + \text{expand}(g_1).$$

In this paper, to improve the contrast of radiographs and enhance their qualities, we use the background removal technique. In this technique, we consider the  $\ell^{th}$  layer of an arbitrary pyramid, and using (3) we change its size to the size of original input image  $I$ , then by subtracting it from the original image, we obtain the denoised image  $I_{\text{denoised}}$ .

The Gaussian pyramid method and the Laplacian pyramid method are summarized in Algorithm 1 and 2, respectively.

Algorithm 1: The background removal technique using the Gaussian pyramid method

1. Inputs:
  - Noisy image  $I = g_0$
  - Number of layers  $S$
  - Filter  $w$
2. For  $\ell = 0, 1, \dots, S$  do
  - Compute the  $\ell^{th}$  layer of the Gaussian pyramid using (1)
3. Using expand operator (3) set

$$\hat{g}_0 = \text{expand}(g_S)$$

4. Set

$$I_{\text{denoised}} = I - \hat{g}_0.$$

## Algorithm 2: The background removal technique using the Laplacian pyramid method

1. Inputs:
  - Noisy image  $I = g_0$
  - Number of layers  $S$
  - Filter  $w$
2. For  $\ell = 0, 1, \dots, S$  do
  - Compute the  $\ell^{th}$  layer of the Gaussian pyramid using (1).
  - Compute the  $\ell^{th}$  layer of the Laplacian pyramid using (2) and (3).
3. Using expand operator (3) set
 
$$\hat{L}_0 = \text{expand}(L_S).$$
4. Set
 
$$I_{\text{denoised}} = I - \hat{L}_0.$$

For evaluating the reconstructed images and their similarity, the peak signal-to-noise ratios (PSNR) and mean squared error (MSE) of images are calculated. Given an original image  $I \in \mathbb{R}^{M \times N}$  and its reconstructed image  $I_{\text{denoised}} \in \mathbb{R}^{M \times N}$ , PSNR and MSE are defined as [29]:

$$\text{PSNR} = \frac{1}{MN} \log \left( \frac{MN}{\sum_{i=1}^M \sum_{j=1}^N (I(i,j) - I_{\text{denoised}}(i,j))^2} \right), \quad (5)$$

and

$$\text{MSE} = \sqrt{\frac{1}{MN} \sum_{i=1}^M \sum_{j=1}^N (I(i,j) - I_{\text{denoised}}(i,j))^2}. \quad (6)$$

### The radiography procedure

The employed X-ray unit is the TRANSPORTIX 50 X-ray machine made by General Electric®. It has 3 kW output power, a focal spot size of 2.3 mm, and a total filtration of 2 mm of aluminum. The range of high voltage variation is between 20 kVolt to 110 kVolt. The phosphor imaging plates (computed radiography, CR) and conventional industrial radiography films (AGFA® films) are used for X-ray detection and image generation.

### Results

The X-ray radiography technique was used to examine hidden designs in valuable paintings. In Fig. 2, the radiographs of paintings of Fig. 1 are shown. It is noticeable that the designs of radiographs are completely different from the design on the canvas or the woods. Besides, the hidden construction detail, defects and damage of painting can also be recognized in radiography of paintings. Therefore, the radiography technique can reveal the hidden designs and help the restorer for better decision. The quality obtained hidden radiographs have been suffering from some blurriness. Digital image processing techniques have been implemented to enhance the quality of the images. For this purpose, the Gaussian and Laplacian Pyramids methods were applied to the images to improve the quality of assessment of hidden paintings. Fig. 4 shows the output of the Gaussian and Laplacian Pyramids methods for Fig. 2-A. It is difficult to find the best threshold level for an unknown dynamic noise and to remove the foggy component of the images. Therefore, a method of the background removal has been utilized. According to Figs. 4 and 5, the high levels of decomposition in the sub-sampling approach are caused a very foggy output images. We subtracted the original radiograph (Fig. 2-A) to the foggy component (Fig. 4). The reconstructed images have higher contrast and sharper edges. The reconstructed images in this way are shown in Figs. 6-8 for the burial of the sardine, the scenery and two ladies paintings. It can be seen that the reconstructed images are clearer and have sharper edges in the content of the paintings. Two radiography experts and two restoration specialists evaluated the results. Table 2 shows experts' scores for original and reconstructed radiographs by Gaussian pyramid and Laplace pyramid methods. The professionals' opinions confirm that the reconstructed images are clear and have visualized better than the original ones.

### Conclusion

The results show that radiography is an effective method in identifying hidden paintings. Digital processing of radiographic images can also help for better identification of hidden designs. The effectiveness of the Gaussian Pyramid is to decompose the original radiograph into smoother and to extract the feature or structure of interest, and it can also attenuate the image noise. This goal can be achieved by two simple operations, i.e., smoothing and down-sampling which the former process can smooth the images with a sequence of smoothing filters and the latter operation reduces image size by half after each smoothing. Also, levels of the Laplacian pyramid will be constructed to evaluate the difference between two successive levels of the Gaussian pyramid. When the level of the Gaussian/Laplacian pyramid is obtained, the improved radiograph will be constructed by subtracting its values from the original radiographs. The mentioned methods are implemented on the several painting of the Valencia Museum. The results show the effectiveness of the radiography along with digital image processing techniques for image enhancement of the paintings specimens.



## مقاله پژوهشی



## شناسایی طرح‌های پنهان در تابلوهای عتیقه با استفاده از پرتونگاری صنعتی

مهدی میرزاپور<sup>۱\*</sup>، عفت یاحقی<sup>۲</sup>، سیده مریم قیاسی لیمنجوبی<sup>۳</sup>، خوزه آنتونی مادرید<sup>۴</sup>، گارسیا<sup>۵</sup>، امیر موافقی<sup>۵</sup>

۱. استادیار و عضو هیئت‌علمی گروه ریاضی، دانشگاه بولوی سینا، همدان، ایران

۲. دانشیار و عضو هیئت‌علمی گروه فیزیک، دانشگاه بین‌المللی امام خمینی (ره)، قزوین، ایران

۳. دانشجوی کارشناسی ارشد فیزیک، دانشگاه بین‌المللی امام خمینی (ره)، قزوین، ایران

۴. استاد و عضو هیئت‌علمی مؤسسه دانشگاهی مرمت و بازسازی، دانشگاه پلی‌تکنیک والنسیا، والنسیا، اسپانیا

۵. دانشیار و عضو هیئت‌علمی پژوهشکده راکتور و ایمنی هسته‌ای، پژوهشگاه علوم و فنون هسته‌ای، تهران، ایران

تاریخ پذیرش: ۱۳۹۹/۰۹/۲۵

دریافت: ۱۳۹۹/۰۷/۱۳

## چکیده

برای جلوگیری از تخریب و سوزاندن تابلوهای نفیس در زمان جنگ و حوادث اجتماعی در گذشته، بر آن‌ها اثر هنری جدید نقاشی می‌شده است. برای شناسایی لايه‌های پنهان تابلوها، استفاده از یک روش عمیقی که بتواند طرح‌های زیرین را مشخص کند، مفید است. اشعة ایکس که قابلیت نفوذ در مواد مختلف را دارد، می‌تواند تصویر نهان نقاشی را مشخص کند. قبل از استفاده از آزمون پرتونگاری، ضخیم بودن لايه‌های نقاشی کارشناسان را به این باور می‌رساند که نقاشی اصل نبوده و بر روی آن طرحی دیگر کشیده شده است. مسئله مهم در بررسی تابلوهای هنری، حفظ آن‌ها و شناسایی نواحی ناقص است. برای این امر فن‌های مختلف غیر مخرب به کار گرفته می‌شوند. آزمون پرتونگاری جزئی از آزمون‌های غیر مخرب است. در پرتونگاری به دلیل نفوذ پرتوابکس به لايه‌های زیرین، بدون تخریب و تعییر در نمونه آزمایشی، الگوهای نهان و آسیب‌های عمیق آشکار می‌شوند. تصاویر حاصل از پرتونگاری به دلیل پراکندگی و تضعیف پرتو در قطعه و نیز اندازه چشم، واضح نیستند و کیفیت پایینی دارند، به این دلیل، شناسایی نواحی عیوب در پرتو نگاره‌ها دشوار است. برای افزایش کتراست پرتو نگاره‌ها روش‌های پردازش تصویر می‌توانند به کار گرفته شوند. در این تحقیق از پرتونگاری برای تشخیص تصاویر پنهان تابلوهای نقاشی‌های موجود در موزه و والنسیا، اسپانیا استفاده شده است. همچنین از دو روش هرم گوسی و هرم لایپلاسی برای بهبود کیفیت و کاهش عدم وضوح پرتو نگاره‌ها استفاده شده است که دارای پیچیدگی محاسباتی کم و سادگی بالا در پیاده‌سازی هستند. نتایج، نشان می‌دهند که پرتونگاری روش مؤثری در شناسایی نقاشی‌های پنهان است. با این روش بدون وارد شدن هیچ‌گونه آسیبی به تابلو می‌توان اطلاعات مهمی در مورد طرح‌های پنهان آن به دست آورد. استفاده از الگوریتم‌های پردازشی هرمی لایپلاسی و گوسین در تصاویر پرتونگاری نیز می‌تواند در شناسایی بهتر طرح‌های پنهان کمک کند.

**واژگان کلیدی:** طرح‌های پنهان، تابلوهای عتیقه، پرتونگاری صنعتی، روش هرم گوسی، روش هرم لایپلاسی

\*مسئول مکاتبات: همدان، چهارباغ شهید احمدی روش، دانشگاه بولوی سینا، گروه ریاضی، صندوق پستی: ۶۵۱۷۸-۳۸۹۵

پست الکترونیکی: m.mirzapour@basu.ac.ir

حقوق نشر متعلق به نویسنده(گان) است و نویسنده تحت مجوز Creative Commons Attribution License به مجله اجازه می‌دهد مقاله چاپ شده را با دیگران به اشتراک بگذارد منوط بر اینکه حقوق مؤلف اثر حفظ و به انتشار اولیه مقاله در این مجله اشاره شود.

مخرب استفاده شود تا با توجه به شناسایی مواد و طرح‌های زیرین تابلو که در هر دورهٔ تاریخی متفاوت هستند بتوان اطلاعات مفیدی در مورد آن‌ها به دست آورد [1,3,5].

جهت شناسایی عیوب موجود در تابلوهای هنری روش‌های متنوعی به کار گرفته می‌شوند و هدف تمام فن‌های مورداستفاده، کشف و آشکارسازی عیوبی است که واضح نیستند و با چشم غیرمسلح دیده نمی‌شوند. از مهم‌ترین روش‌های فیزیکی و شیمیایی برای تشخیص آسیب‌ها در نقاشی‌ها، زدودن غبار روی سطح آن‌ها از طریق مکش، ضدغونی کردن، استفاده از آباکسیون و پودرهای پاک‌کننده را می‌توان نام برد، البته باید دقیق شود که مواد شیمیایی به مرور زمان موجب نابودی آثار هنری می‌شوند و نمونه‌برداری از آثار هنری، موجب تخریب و از بین رفتن آن‌ها می‌شود.

روش‌های دیگری نیز برای شناسایی تخریب تابلوها و طرح‌های نهان آن‌ها وجود دارد. یکی از این روش‌ها استفاده از تصویربرداری چند طیفی<sup>۱</sup> (MSI) است که یک روش غیر مخرب محسوب می‌شود [6-8]. این روش قادر است اطلاعاتی را آشکارسازی کند که توسط چشم انسان قابل مشاهده نیست. تصویربرداری چند طیفی علاوه بر واضح ساختن الگوهای پنهان، اطلاعاتی درباره مواد مورداستفاده در نقاشی و شناسایی رنگدانه‌ها نیز در اختیار متخصصان مرمت قرار می‌دهد. این روش، وضوح طیفی محدودی دارد و استفاده مؤثر از این تکنیک به اپراتورهای با تخصص بسیار بالا و دستگاه‌های مکانیکی ویژه‌ای نیاز دارد [9-12]. همچنین استفاده از میکروسکوپ الکترونی روبشی مجهز به آنالیز اسپکتروسکوپی پراش انرژی پرتوایکس<sup>۲</sup> (SEM-EDS) یکی از انواع روش‌هایی است که برای شناسایی ترکیب شیمیایی نمونه‌ها و مشاهده ریزساختارها مورداستفاده قرار می‌گیرد [13].

علاوه بر روش‌های بالا، آزمایش‌هایی وجود دارند که بدون آسیب رساندن و ایجاد تغییر در شکل ظاهری و وضعیت فیزیکی آثار و قطعه‌های مورد آزمایش به شناسایی عیوب و نقوش و طرح‌های ریز و پنهان کمک می‌کنند که به آزمون‌ها یا ارزیابی‌های غیر مخرب<sup>۳</sup>

## ۱. مقدمه

آثار هنری و باستانی از نظر مادی، فرهنگی و تاریخی ارزش بسیار بالایی دارند و منبعی مهم و اصلی برای تحقیقات علمی، تاریخی و دیگر علوم مرتبط با باستان‌شناسی به شمار می‌روند. این آثار اغلب بسیار گران‌بها و غیرقابل جایگزین هستند و آینه‌ تمام نمای هوبیت فرهنگی انسان‌ها در هر قبیله و جامعه‌ای محسوب می‌شوند. هنگامی که هنرمندی، کشیدن یک نقاشی را به پایان می‌رساند؛ این آثر هنری از همان لحظه در معرض تغییر و زوال قرار می‌گیرد. تغییرات شدت نور و دمای محیط، تأثیرات رطوبت، گذر زمان (پیری طبیعی)، آسیب‌های تصادفی، آلودگی باکتریایی، حشرات و سایر موارد از عوامل نابودی فیزیکی و تغییر شکل ظاهری آثار هنری به شمار می‌روند. این عوامل موجب ایجاد شوره‌زدگی در سطح نقاشی، گسترش و یا انقباض ترک‌ها، محو شدن رنگدانه‌ها، تیره شدن و تغییرات رنگ، تخریب زیستی و پارگی در تابلوی نقاشی می‌شوند [1,2]. با مطالعه و تجزیه و تحلیل بسیاری از آثار هنری که در موزه‌های سراسر جهان وجود دارند، می‌توان اطلاعاتی مهم از نحوه طراحی، نوع مواد به کار رفته، رنگدانه‌ها و ساختار مولکولی رنگ‌ها به دست آورد، با استفاده از این اطلاعات، متخصصان می‌توانند روشی خاص برای حفاظت و مرمت آثار پیشنهاد کنند. روش‌های متفاوتی برای تشخیص عیوب و طرح‌های پنهان تابلوها وجود دارد. برای حفظ و نگهداری از آثار نقاشی، شناسایی ترکیب شیمیایی نمونه‌ها و دانستن اثرات مکانیسم‌های تخریب، از عوامل حیاتی به شمار می‌روند [3,4].

اگر آسیب‌های زیرسطحی و نقش‌های نهان موجود در تابلوی هنری شناسایی نشوند و جلوی تخریب آن‌ها گرفته نشود، با گذشت زمان خدمات غیرقابل جبران به تابلو وارد می‌شود و نقاشی اصلی قابل رؤیت نخواهد بود. همچنین در سال‌های گذشته گاهی برای جلوگیری از تخریب و سوزاندن تابلوهای نفیس در زمان جنگ و حوادث اجتماعی، بر آن‌ها اثر هنری جدیدی نقاشی می‌شده که طرح اصلی تابلو را پوشانده است. برای دستیابی به این اطلاعات، لازم است از روش‌های غیر

تفسیر صحیح و مناسب پرتو نگاره‌ها برای ارزیابی و به دست آوردن اطلاعات بیشتر و دقیق‌تر جهت شناسایی الگوهای پنهان، ضروری است. تصاویر پرتونگاری به دلیل پراکندگی ذاتی پرتوایکس و عوامل دیگر مانند انواع نوفه<sup>۶</sup> ایجاد شده توسط قسمت الکترونیکی دستگاه و پرتوهای پراکنده، کیفیت پایین دارند و خیلی واضح نیستند. تفسیر صحیح آن‌ها نیازمند بهبود کیفیت و افزایش وضوح تصاویر است. به دلیل دیجیتالی بودن پرتو نگاره‌ها می‌توان از روش‌های مختلفی برای بهبود کیفیت آن‌ها استفاده کرد. کوچک کردن نقطه کانونی چشمۀ پرتوی تابشی، استفاده از صفحات فزون‌ساز و موازی کردن پرتوهای تابشی از روش‌های بهبود کیفیت پرتو نگاره‌ها به شمار می‌روند، اما این روش‌ها نیازمند ایجاد تعییراتی در دستگاه پرتونگاری هستند که هزینه زیادی در بردارند. دقیق‌ترین و مقرن به صرفه‌ترین روش برای بهبود کیفیت پرتو نگاره‌ها با حفظ جزئیات آن‌ها استفاده از روش‌ها و الگوریتم‌های پردازش تصویر است. روش‌های پردازش تصویر به طور معمول با الگوریتم‌های مکانی، فرکانسی و فرکانسی-زمانی انجام می‌شود و هر کدام از این الگوریتم‌ها، به عنوان مثال الگوریتم تبدیل موجک-23<sup>۲۵</sup>، صافی میانگین غیرخطی یا صافی گابور [۲۶-۲۸]، قادر به نمایان‌سازی ویژگی‌های خاصی از پرتو نگاره تابلوهای نقاشی هستند.

با توجه به اینکه پرتونگاری، اغلب برای اهداف صنعتی و پژوهشی طراحی شده‌اند و پردازش تصویر در این حوزه‌ها قدمت طولانی‌تری نسبت به تابلوهای هنری دارد و لی می‌توان با تعییر مؤلفه‌های الگوریتم‌های پردازش تصویر، کارایی آن‌ها را برای تابلوهای هنری افزایش داد و یا از الگوریتم‌هایی استفاده کرد که کارایی مؤثری در افزایش وضوح پرتو نگاره‌های صنعتی و پژوهشی ندارند. در این تحقیق، برای بهبود کیفیت تصاویر پرتونگاری جهت تشخیص الگوهای پنهان موجود در تابلوی هنری از الگوریتم‌های هرم گوسی و هرم لاپلاسی استفاده شده است. هدف از ساخت هرم‌های تصویر، نمایش استخراج ساختار و ویژگی‌های تصویر اصلی در مقیاس‌های مختلف برای کاهش نوفه است. در این روش‌ها، با رویکرد نمونه‌کاهی<sup>۷</sup>، یک دنباله از تصاویر با ابعاد کوچک‌تر تولید

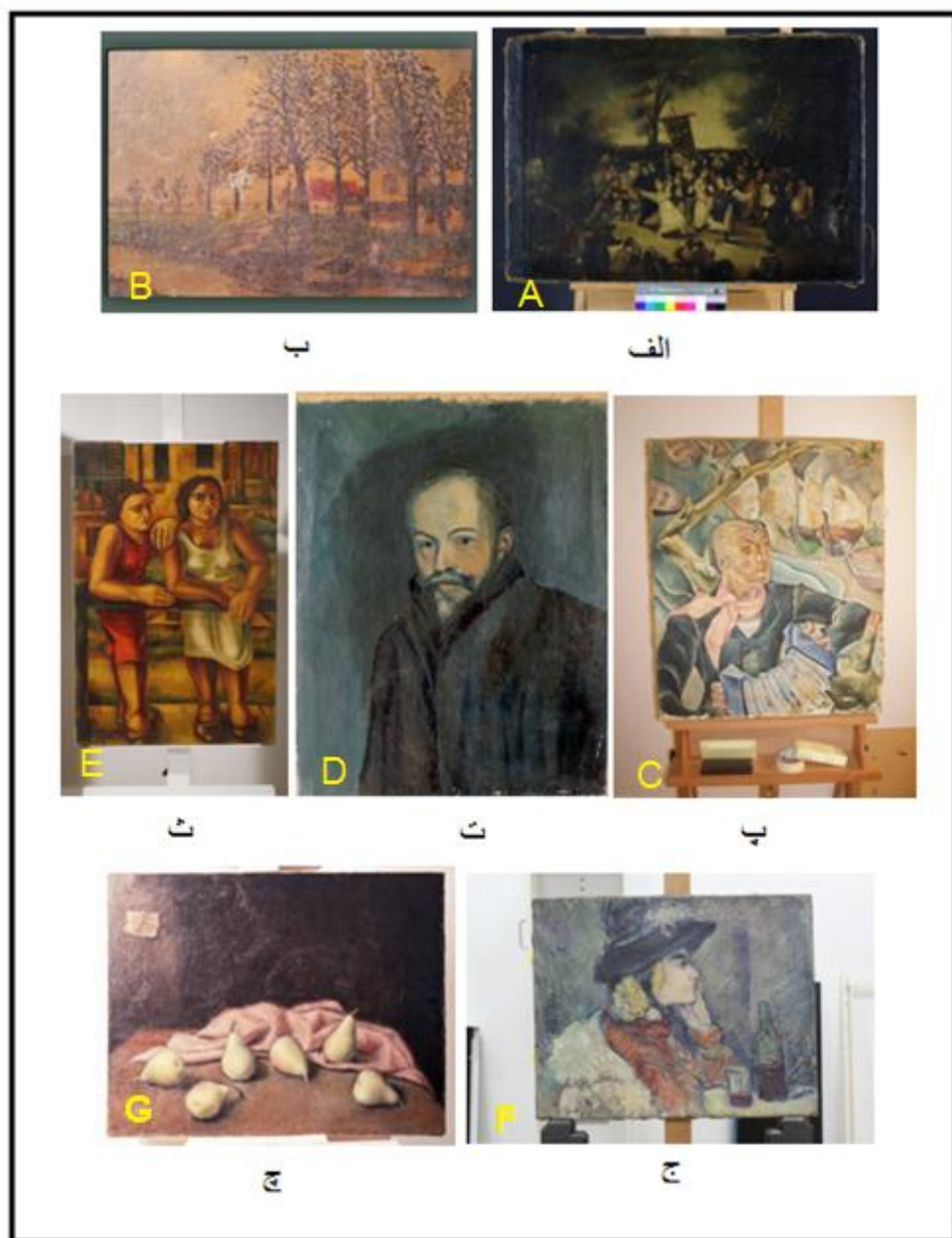
(NDT or NDE) معروف هستند. انواع مختلف آزمون‌های غیرمخرب مانند تصویربرداری فرابنفش، تصویربرداری فروسخ (مادون قرمز)، آزمون‌های فرماحتوی و پرتونگاری به طور گسترده برای ارزیابی غیرمخرب تابلوهای هنری شناخته شده‌اند [۱۱-۱۸] و استفاده می‌شوند. بازرسی چشمی که جزئی از آزمون‌های غیر مخرب است، مهم‌ترین جزء هر تجزیه‌وتحلیل به شمار می‌رود و اطلاعات مربوط به شفافیت لام و ترک‌های بزرگ رویه نقاشی را ارائه می‌دهد ولی برای شناسایی الگوهای آسیب‌های نهان موجود در تابلوها قابل استفاده نیست [۱۴-۱۸].

آزمون پرتونگاری روش دیگری از آزمون‌های غیرمخرب است که علاوه بر کاربرد گسترده در صنعت و پژوهشی، در علوم و مطالعات باستان‌شناسی برای شناسایی و تعیین نواحی عیوب پنهان در آثار باستانی هم کاربرد زیادی دارد. اساس آزمون پرتونگاری استفاده از پرتوهای ایکس (طول موج  $10^{-3}$  -  $10^{-5}$  میکرومتر) است که توانایی نفوذ بسیار بالایی در اجسام دارند، حتی اجسامی که نور مرئی از آن‌ها عبور نمی‌کند. در این فرایند قسمتی از پرتوها جذب قطعه مورد آزمایش، قسمتی پراکنده و قسمتی نیز حین عبور از قطعه تضعیف و سپس خارج می‌شود؛ این پرتوهای خارج شده با برخورد به آشکارسازی که درست پشت نمونه آزمایش قرار دارد، پرتو نگاره‌ها (تصاویر حاصل از پرتونگاری) را ایجاد می‌کنند. آشکارسازها بسته به نوع پرتونگاری متفاوت هستند. به طور مثال در آزمون پرتونگاری سنتی از فیلم‌های مخصوص و در آزمون پرتونگاری محاسباتی<sup>۴</sup> (CR) از صفحات فسفری<sup>۵</sup> تصویرساز به عنوان آشکارساز استفاده می‌شود [۱۹-۲۲].

با پرتونگاری تابلوهای هنری می‌توان اطلاعاتی را در مورد ترتیبات بوم، طرح‌های مقدماتی و نقوش پنهان بوم، نقایص زیرسطحی و مسیر حرکت قلم مو به دست آورد. پرتونگاری تابلوهای هنری به دلیل ضخامت کم آن‌ها امری دشوار است و انرژی مورد استفاده برای پرتونگاری به ابعاد تابلو و فاصله آن تا چشمۀ نور بستگی دارد، اما به طور معمول از پرتوهایی با انرژی بین ۲۰ تا ۶۰ کیلووات برای پرتونگاری استفاده می‌شود.

بیشتری دارد. پس از ساخت هرم، برای بازسازی تصویر نو ففزادایی شده، ابتدا فیلتری را بر روی هریک لایه‌های هرم اعمال می‌کنند و سپس با رویکرد نمونه‌افزایی<sup>۸</sup> تصویر شفاف‌تر هنری است تا با شناسایی بهتر نواحی آسیب‌دیده و نقوش پنهان در پرتو نگاره‌ها، دقیق‌ترین اطلاعات در اختیار مرمتگران قرار گیرد. با این اطلاعات

می‌شوند که به تولید هرم تصویر منجر می‌شوند. در روش هرم گوسی، برای ساخت هرم در هر مرحله، از میانگین‌گیری گوسی استفاده می‌شود در حالی که در روش هرم لاپلاسی، از یک تبدیل لاپلاس برای ساخت هرم تصویر استفاده می‌شود. در این هرم‌های تصویر، هر لایه نسبت به لایه پایین‌تر خود ابعاد کوچک‌تر و همواری



شکل ۱: تصاویر تابلوها الف- دفن سارдин، ب - چشم‌ انداز، پ- مردی با آکارڈئون، ت- پرتره انسان، ث- دو زن ج- بانو، د- هنوز زندگی با گلابی

Fig. 1: Painting: A(The burial of the sardine, B) Scenery, C) Man with Accordion, by Genaro Lahuerta, D(Portrait of man, E) Two ladies, F(Lady G) Still Life with Pears by Valentine Durban

که بعد از پرتوگیری با اسکنر لیزری مخصوص CR 30-X تا ابعاد  $40.96 \times 40.96$  پیکسل می‌تواند تصویر دیجیتال تولید کند. با توجه به اینکه ابعاد تابلوها متفاوت هستند، پارامترهای تصویربرداری مانند فاصله چشمی تا فیلم، جریان و ولتاژ برای ایجاد بهترین پرتو نگاره انتخاب شده‌اند. در جدول ۱ مقادیر انتخابی برای پرتونگاری هر تابلو نوشته شده است.

### ۲-۳. الگوریتم‌های هرم گوسی و هرم لاپلاسی

یکی از روش‌های شناسایی و استخراج ویژگی‌های یک تصویر، استفاده از رویکرد نمونه‌برداری است که منجر به تغییر ابعاد تصویر می‌شود. در این رویکرد، یک مجموعه از تصاویر مشابه با ابعاد مختلف جمع‌آوری می‌شود که به این مجموعه، هرم تصویر گفته می‌شود. دلیل این نام‌گذاری این است که وقتی تصاویر این مجموعه با یک ترکیب نزولی (از لحاظ ابعاد تصویر) در لایه‌های مختلف مرتب می‌شوند، یک‌شکل به صورت هرم با قاعدهٔ مربعی شکل ظاهر می‌شود. شکل ۱-الف بیانگر یک هرم تصویر است [29]. دو نوع هرم وجود دارد، هرم گوسی و هرم لاپلاسی. در ادامه به طور مختصر این دو نوع هرم و ارتباط بین آن‌ها شرح داده می‌شود.

فرض کنیم تصویر نوفه  $g_0 = I$  داده شده باشد. در هرم گوسی از دو عملگر کاهش (reduce) و افزایش (expand) ابعاد تصویر استفاده می‌کنیم که در عملگر کاهش، تصویر فعلی به یک تصویر با نصف اندازهٔ تصویر اصلی تبدیل می‌شود و در عملگر افزایش، تصویر فعلی به یک تصویر با ابعاد دو برابر اندازه آن تبدیل می‌شود. بنابراین سطح  $\ell$ -ام هرم گوسی به صورت  $g_\ell = reduce(g_{\ell-1})$  بیان می‌شود و درایه‌های آن از رابطه زیر محاسبه می‌شوند:

$$g_\ell(i, j) = \sum_{m=-2}^2 \sum_{n=-2}^2 w(m, n) g_{\ell-1}(2i + m, 2j - n) \quad (1)$$

که در آن  $w = \hat{w}^T \hat{w}$  یک پنجره (فیلتر) گوسی  $5 \times 5$  است. ما در نتایج تجربی این تحقیق قرار می‌دهیم:

$$w^{TT} = [0.0625 \ 0.25 \ 0.375 \ 0.25 \ 0.0625] \quad \text{همان‌طور که ملاحظه می‌شود در هرم گوسی ابتدا}$$

مرمتگران می‌توانند مناسب‌ترین روش را برای ترمیم و حفظ و حراست از بازسازی می‌شود [28,29]. هدف از این تحقیق، ارائه روشی برای بالا بردن کیفیت پرتو نگاره‌های تابلوهای نقاشی‌ها ارائه کنند. تابلوهای هنری نفیس استفاده شده در این تحقیق متعلق به موزه هنری والنسیا در کشور اسپانیا است. الگوریتم هرم گوسی و هرم لاپلاسی بر پرتو نگاره‌های این تابلوها برای وضوح و بالا بردن کیفیت پرتو نگاره‌ها و تعیین نواحی الگوها و نقاشی‌های نهان اعمال شده است.

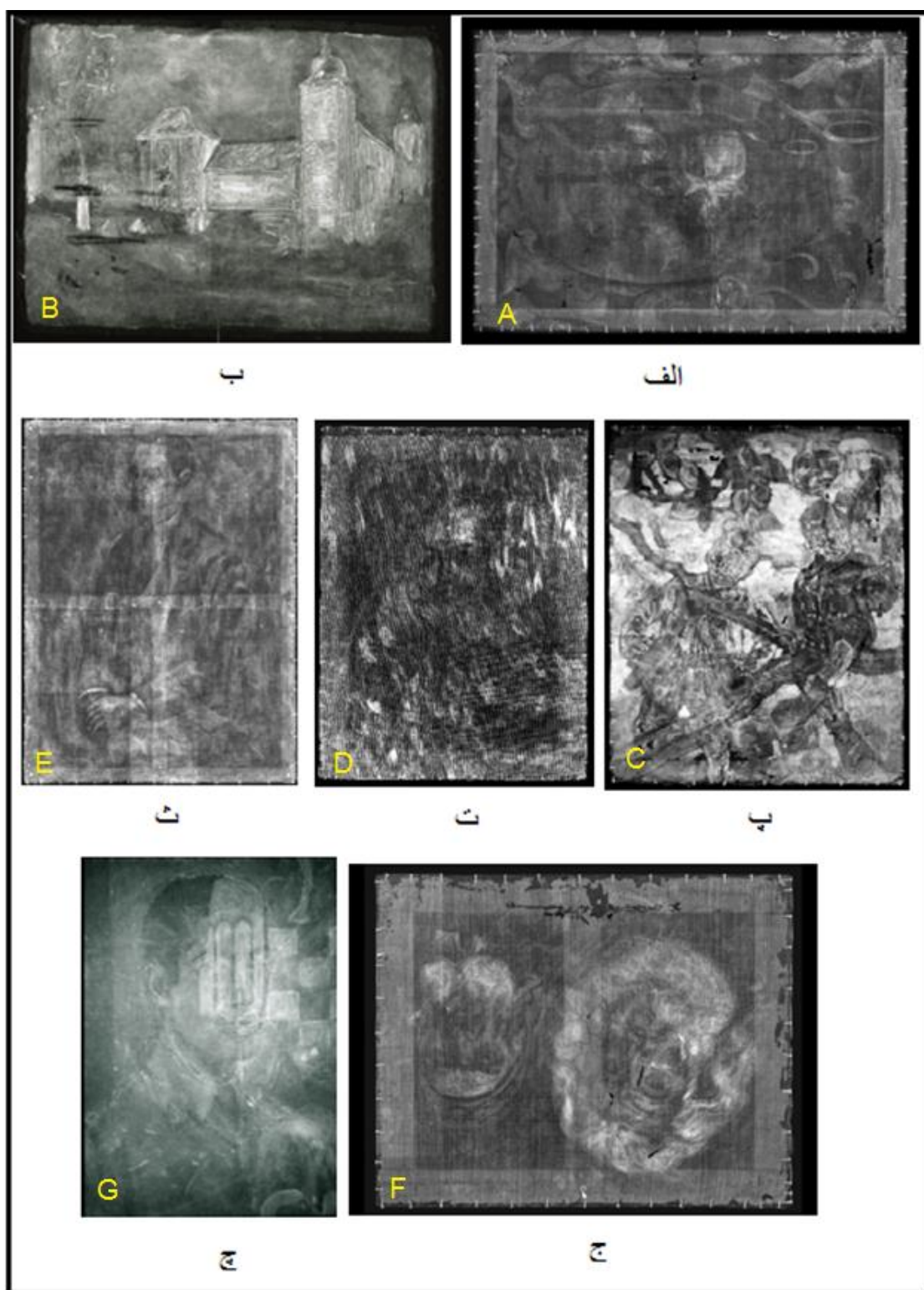
## ۲. روش‌ها

### ۲-۱. معرفی تابلوها

هفت تابلو از آثار هنری و تاریخی موزه والنسیا در اسپانیا برای این بررسی انتخاب شده که در شکل ۱ نشان داده شده‌اند. شکل ۱-الف تابلوی دفن سارдин است که نقاش آن ناشناخته و تکنیک نقاشی، رنگ روغن است. شکل ۱-ب تابلوی چشم‌انداز است که با رنگ روغن روی تابلوی مردی با آکاردئون، اثر جنارو لاھوئرتات را نشان می‌دهد. شکل‌های ۱-ت، ۱-ث و ۱-ج تابلوهای پرترهٔ انسان، دو زن و یک بانو را نشان می‌دهند. شکل ۱-ج تابلوی «هنوز زندگی با گلابی» را که توسط والنتین دوربان کشیده شده است، نشان می‌دهد.

### ۲-۲. پرتونگاری

پرتونگاری با یک دستگاه ترانس پورتیکس<sup>®</sup> 50 انجام شده که دارای تیوب اشعه ایکس با توان  $3kW$  و اندازه نقطه کانونی  $2/3 mm$  با صافی آلومینیومی  $2 mm$  است. محدودهٔ تغییرات ولتاژ این تیوب بین  $20$  تا  $110$  کیلوولت است. این دستگاه مولد پرتوایکس، یک سیستم تابش نور مرئی دارد که با پرتوایکس خروجی هم راستا شده است و از آن برای مشخص کردن محل بیم روی تابلو استفاده می‌شود. برای پرتونگاری تابلوها از روش پرتونگاری سنتی و پرتونگاری محاسباتی استفاده شده است. در روش سنتی از فیلم آکفا و درروس محاسباتی از صفحات CR فسفری استفاده شده است. صفحات فسفری تصویرساز برای آشکارسازی اشعه ایکس عبوری از جسم استفاده شده است

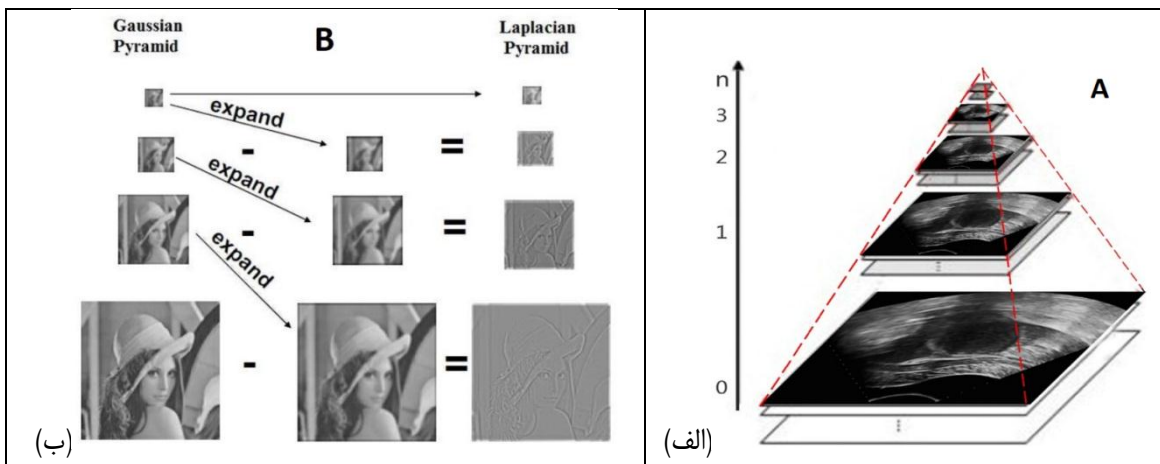


شکل ۲: پرتو نگاره‌های تصاویر تابلوهای شکل ۱ الف- دفن سارдин، ب - چشم‌انداز، پ- مردی با آکاردئون، ت- پرتره انسان، ث- دو زن، ج- بانو، د- هنوز زندگی با گلابی

Fig. 2: The radiography of the Paintings in Fig. 1: A) The burial of the sardine, B) Scenery, C) Man with Accordion, by F) Lady G) Still Life with Pears by Valentine Durban Genaro Lahuerta, D) Portrait of man, E) Two ladies,

جدول ۱: مشخصات پرتوگاری تابلوها  
Table 1. The parameters of exposure for the painting

Name of painting	Detector type	SFD (cm)	time (Second)	electric current (mA)	voltage (kV)
The burial of the sardine, B-, Scenery	CR	300	3	20	51
Man with Accordion, by Genaro Lahuerta,	Film	120	1265	20	36
Portrait of man,	Film	190	600	20	36
Two ladies,	CR	200	3	20	37
Lady	CR	90	3	20	59
Still Life with Pears by Valentine Durban	Film	90	3	20	35
		196	175	20	32



شکل ۳: الف: یک هرم تصویر [28]، ب: ارتباط بین هرم‌های گوسی و لاپلاسی [29]  
Fig. 3: A) An image pyramid [28], B) Relationship between Gaussian and Laplacian Pyramids [29]

سطح  $\ell$ -ام از هرم لاپلاسی به صورت زیر ساخته می‌شود [29]

$$L_\ell = g_\ell - \text{expand}(g_{\ell+1}) \quad (2)$$

که در آن درایه‌های  $\text{expand}(g_{\ell+1})$  به صورت زیر تعریف می‌شود:

$$\text{expand}(g_{\ell+1}(i,j)) = 4 \sum_{m=-2}^2 \sum_{n=-2}^2 w(m,n) g_{\ell+1}\left(\frac{i-m}{2}, \frac{j-n}{2}\right) \quad (3)$$

بنابراین تصویر نویه‌زدایی شده  $\hat{g}_0$  را می‌توان به صورت زیر به دست آورد:

$$\hat{g}_0 = L_0 + \text{expand}(g_1). \quad (4)$$

در این تحقیق برای افزایش کنتراست و شناسایی تصاویر پنهان، از تکنیک حذف زمینه تصویر استفاده شد؛ بدین صورت که پس از به دست آوردن یک تصویر مات در لایه  $\ell$ -ام و تغییر ابعاد آن به اندازه ابعاد تصویر اصلی

فیلتر اعمال و سپس رویکرد نمونه‌کاهی استفاده می‌شود. درنتیجه در زمان افزایش ابعاد، که با رویکرد نمونه‌افزایی انجام می‌پذیرد، پیکسل‌های جدید با وزن دهنده گوسی به پیکسل‌های قبلی ساخته می‌شوند.

در هرم لاپلاسی، از یک عملگر لاپلاس بر روی هرم گوسی استفاده می‌شود، بدین معنی که لایه‌ها یا سطوح هرم لاپلاسی از محاسبه اختلاف دو سطح هرم گوسی به دست می‌آیند. از آنجاکه دو سطح هرم گوسی دارای ابعاد برابری نیستند، سطح با ابعاد کوچک‌تر را با استفاده از عملگر افزایش به یک تصویر همان‌دازه با تصویر سطح قبلی تبدیل می‌کنیم و اختلاف آن‌ها را به عنوان یک سطح از هرم لاپلاسی در نظر می‌گیریم، شکل ۳-ب را ملاحظه کنید. به طور دقیق‌تر اگر  $g_\ell$  و  $g_{\ell+1}$  بیانگر دو سطح متوالی از هرم گوسی باشند آنگاه

اصلی  $I$  و تصویر بعد از حذف نویه  $I_{denoised}$  که هر دو دارای ابعاد  $M \times N$  هستند، داده شده باشند. PSNR که بیانگر میزان انرژی سیگنال اصلی در برابر انرژی نویه موجود در سیگنال است به صورت زیر تعریف می‌شود:

$$\text{PSNR} = \frac{1}{MN} \log \left( \frac{MN}{\sum_{i=1}^M \sum_{j=1}^N (I(i,j) - I_{denoised}(i,j))^2} \right) \quad (5)$$

مقدار بیشتر PSNR نشان‌دهنده نزدیک‌تر بودن تصویر به تصویر اصلی است. به عبارت دیگر هرچه این معیار دارای عدد بزرگ‌تری باشد نشان‌دهنده کمتر بودن نویه موجود در سیگنال دوبعدی و یا تصویر است [29]. MSE که کاربرد وسیعی در ارزیابی انواع سیگنال یک‌بعدی و دوبعدی (تصویر) دارد به‌این ترتیب تعریف می‌شود:

$$\text{MSE} = \sqrt{\frac{1}{MN} \sum_{i=1}^M \sum_{j=1}^N (I(i,j) - I_{denoised}(i,j))^2} \quad (6)$$

مقدار کمتر MSE نشان‌دهنده شباهت تصویر به تصویر اصلی است.

هر دو الگوریتم هرم گوسی و هرم لاپلاسی با استفاده از نرم‌افزار متلب ۲۰۱۶<sup>۱۱</sup> پیاده‌سازی شده‌اند. برای اجرای برنامه‌ها از یک رایانه با پردازنده Intel Core i7-7500U 3.6 GHz و حافظه 8 GB استفاده شده است.

#### ۴. نتایج و یافته‌ها

در این تحقیق برای شناسایی تصاویر پنهان تابلوهای نفیس از پرتونگاری استفاده شده است. تابلوها مطابق بخش ۱-۲، پرتونگاری شده‌اند. در شکل ۲ پرتو نگاره‌های تابلوهای شکل ۱ نشان داده شده است. همان‌طور که ملاحظه می‌شود تصاویر پرتو نگاره‌ها شباهتی به طرح تابلوهای شکل ۱ ندارند. این نتایج نشان می‌دهند که به علت مسائل مختلف مانند تغییرات اجتماعی و سیاسی جامعه، کمبود امکانات و مواد، اثر دیگری روی تابلوها کشیده شده است. در بعضی از موارد هم شاید عواملی مانند دلزدگی طرح در این امر تأثیر داشته‌اند. از روی تصاویر پرتو نگاره می‌توان علاوه بر شناسایی آسیب‌های لایه‌های زیرین به اطلاعاتی در مورد چگونگی کشیده شدن طرح و سابقه تاریخی آن

$I$ ، این تصویر مات، از تصویر اصلی کم می‌شود تا تصویر با وضوح بیشتر  $I_{denoised}$  به دست آید. نحوه پیاده‌سازی هرم‌های گوسی و لاپلاسی به ترتیب در الگوریتم‌های ۱ و ۲ خلاصه شده است.

#### الگوریتم ۱: الگوریتم هرم گوسی

۱- ورودی‌ها:

$$I = g_0 \quad \bullet$$

تعداد لایه‌ها  $S$

فیلتر  $W$

$$\ell = 0, 1, \dots, S \quad \bullet$$

سطح  $\ell$ -ام هرم گوسی ( $g_\ell$ ) را با استفاده از (۱)

محاسبه کن.

۳- با استفاده از عملگر افزایش ابعاد (۳)، قرار دهید

$$\hat{g}_0 = \text{expand}(g_S)$$

۴- قرار دهید

$$I_{denoised} = I - \hat{g}_0.$$

#### الگوریتم ۲: الگوریتم هرم لاپلاسی

۱- ورودی‌ها:

$$I = g_0 \quad \bullet$$

تعداد لایه‌ها  $S$

فیلتر  $W$

$$\ell = 0, 1, \dots, S \quad \bullet$$

سطح  $\ell$ -ام هرم گوسی ( $g_\ell$ ) را با استفاده از (۱)

محاسبه کن.

۳- سطح  $\ell$ -ام هرم لاپلاسی ( $L_\ell$ ) را با استفاده از (۲)

و (۳) محاسبه کن.

۴- با استفاده از عملگر افزایش ابعاد (۳)، قرار دهید

$$\hat{L}_0 = \text{expand}(L_S)$$

۵- قرار دهید

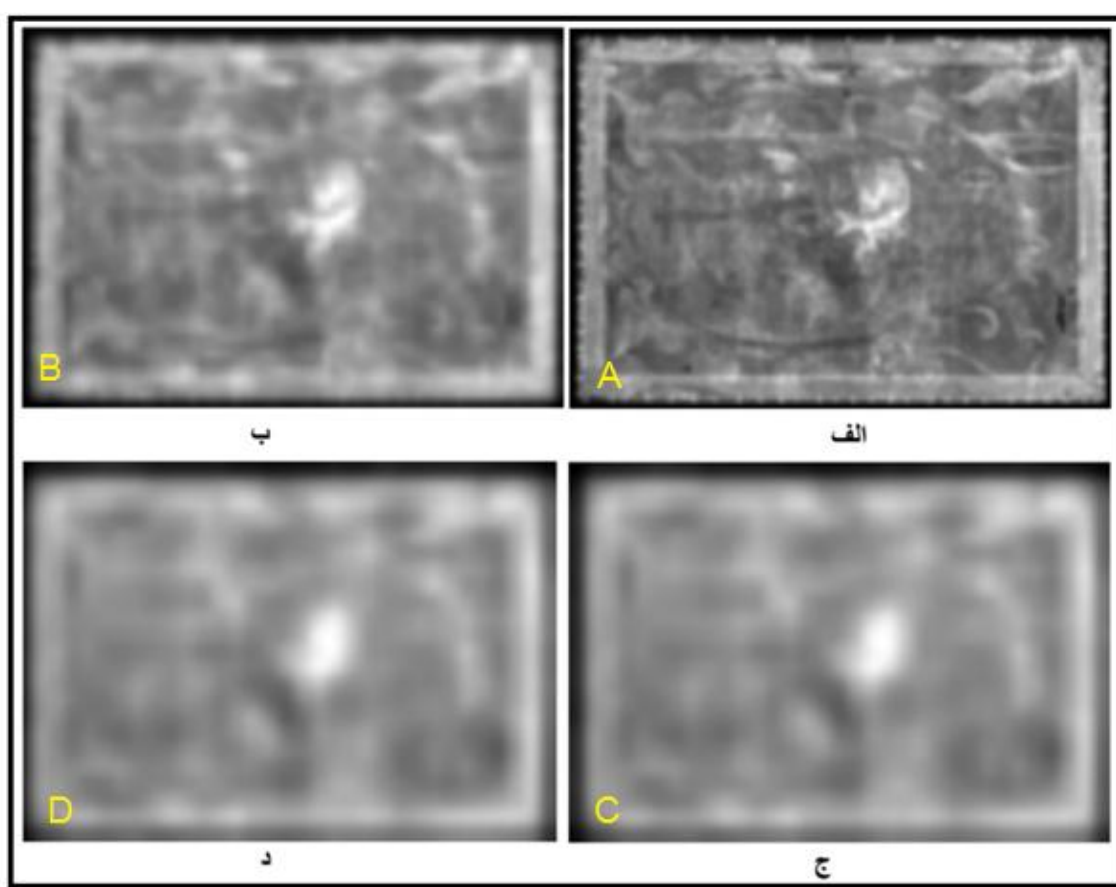
$$I_{denoised} = I - \hat{L}_0.$$

برای ارزیابی تصاویر ایجاد شده، از نسبت بیشترین مقدار سیگنال به نویه<sup>۹</sup> (PSNR) و خطای میانگین مربعی<sup>۱۰</sup> (MSE) استفاده شده است. فرض کنیم تصویر

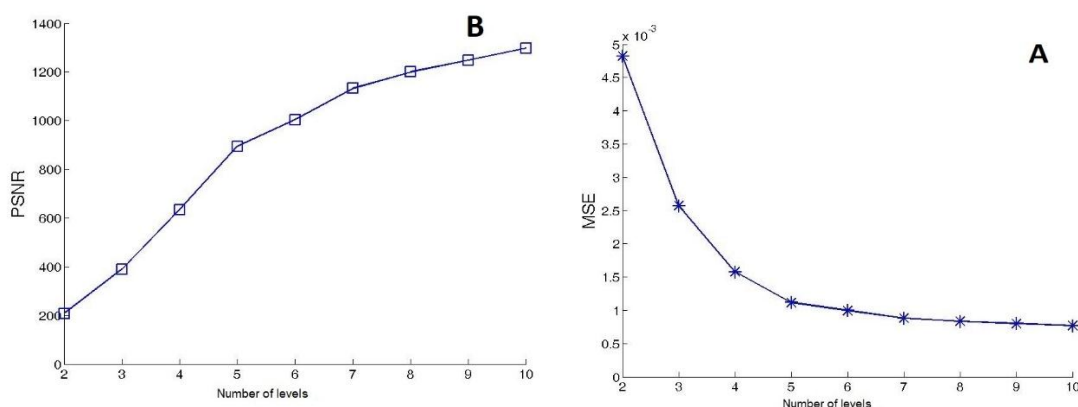
شکل ۲-الف نشان داده شده است. برای بررسی اثر تعداد سطوح در نمونه‌برداری از تصویر از پارامترهای PSNR و MSE استفاده شد. در شکل ۵ نمودار تغییرات PSNR و MSE برای سطوح مختلف نمونه‌برداری برای روش هرم لابلسی از تصویر شکل ۲-ب نشان داده شده است. برای روش هرم گوسی نیز تغییرات برای این تصویر به همین شکل بوده است. نتایج، نشان می‌دهند که تغییرات PSNR و MSE هر دو صعودی هستند ولی از حدود ۵ سطح به بالا تغییرات کمتر می‌شوند.

در الگوریتم هرم گوسی و هرم لابلسی از یک پنجره با مقدار مشخص استفاده می‌شود که به طور متواالی در چند سطح با تصویر کانولوشن می‌شود و تصاویر کوچکتری را به وجود می‌آورد. این تصاویر به علت ترکیب پیکسل‌های مجاور، مات شده‌اند که می‌توان با کم کردن آن‌ها از تصویر پرتو نگاره اصلی

دست پیدا کرد. درروی پرتو نگاره‌های شکل ۲ علاوه بر طرح کلی نقاشی قبلی، محله‌ای آسیب به بوم و خراشیدگی نیز دیده می‌شوند. برای استخراج اطلاعات بیشتر و بالا بردن کنترast تصاویر از دو روش تجزیه هرم گوسی و هرم لابلسی استفاده شده است. در این دو ۲-۲ روش مطابق الگوریتم توضیح داده شده در بخش ۲-۲ پرتو نگاره‌ها در چند سطح نمونه‌برداری شده‌اند که هرچه تعداد نمونه‌برداری‌ها بیشتر باشد تصاویر خروجی مات‌تر می‌شود. یعنی در هر دو الگوریتم هرم گوسی و هرم لابلسی اساس کار بر نمونه‌برداری تصویر با پنجره‌های مختلف است که به طور متواالی در چند سطح انجام و یک پنجره در هر مرحله در تصویر درهم‌پیچیده می‌شود. در شکل ۴-الف و ۴-ج تصاویر حاصل از اجرای الگوریتم هرم گوسی برای پنج و شش سطح و در شکل ۴-ب و ۴-د تصاویر برای الگوریتم هرم لابلسی برای



شکل ۴: تصویر خروجی (برای شکل ۲-الف): الف و ج- روش هرم گوسی ب و د- روش هرم لابلسی برای نمونه‌برداری در سطوح ۵ و ۶  
Fig. 4: Output image (for Fig.2-A): A and C) Gaussian pyramid method, B and D) Laplace pyramid method for sampling at levels 5 and 6

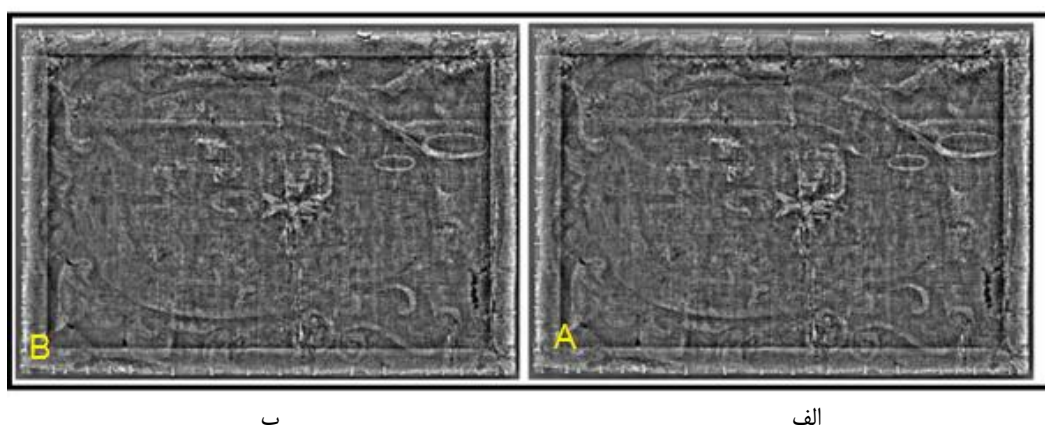


ب

الف

شکل ۵. نمودار تغییرات الف- MSE و ب- PSNR بر حسب سطح برای شکل ۲-الف برای روش هرم لاپلاسی

Fig. 5. The variation of A) MSE and B) PSNR with different level for Fig. 2-A for the Laplacian pyramid method.



ب

الف

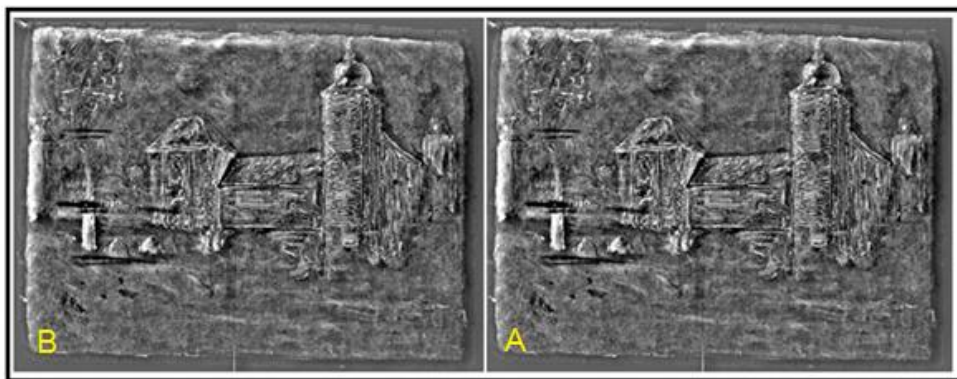
شکل ۶: تصویر ساخته شده از کم کردن (شکل ۲-الف) از تصاویر شکل ۳ الف - روش هرم گوسی ب- روش هرم لاپلاسی

Fig. 6: The reconstructed image by subtracting (Fig. 2- A) from the images Fig. 3 A) Gaussian pyramid method, B) Laplacian pyramid method.

نشان داده شده است. مسیر کشیده شدن قلم مو، نواحی کوبیده شدن میخ در بوم، آسیب در نواحی بوم و رنگها در تصاویر شکل ۶ واضح‌تر از شکل ۲-الف دیده می‌شوند. صلیب و طرح تزئیناتی گل و ساقه نیز بهتر قابل تشخیص هستند. برای بهتر دیده شدن نواحی، لازم است آن‌ها را با بزرگ‌نمایی بالا بینند.

نمونه‌های تصاویر بازسازی شده در شکل ۷ و ۸ نشان داده شده‌اند. در شکل ۷ تصویر بازسازی شده پرتو نگاره‌ای شکل ۲- ب برای پنج سطح نشان داده شده است. ملاحظه می‌شود که نقوش واضح‌تر شدند و جزئیات بهتر دیده می‌شوند. در شکل ۸ تصویر بازسازی شده پرتو نگاره شکل ۲-ث نشان داده شده است.

تصاویری با وضوح بهتر به دست آورد. بررسی الگوریتم‌های گوسین و لاپلاسین هرمی برای تأثیر تعداد سطوح، نشان می‌دهد که زیاد شدن تعداد سطوح نمونه‌برداری سبب ترکیب پیکسل‌ها و کوچک‌تر شدن تصاویر می‌شود که اگر تصاویر، در اندازه تصویر اولیه دیده شوند مات خواهد بود. در شکل ۳ تصاویر خروجی الگوریتم برای شکل ۲-الف در پنج سطح با دو الگوریتم هرم گوسی و هرم لاپلاسی نشان داده شده است. مشاهده می‌شود که در هم‌آمیختگی پیکسل‌ها در الگوریتم هرم لاپلاسی بیشتر است و تصویر مات‌تر شده است. در شکل ۶ تصویر حاصل از کم کردن پرتو نگاره شکل ۲-الف از شکل ۴ نشان داده شده است. تصاویر حاصل تیزتر از پرتو نگاره اصلی هستند و لبه‌ها در آن‌ها با وضوح بیشتری



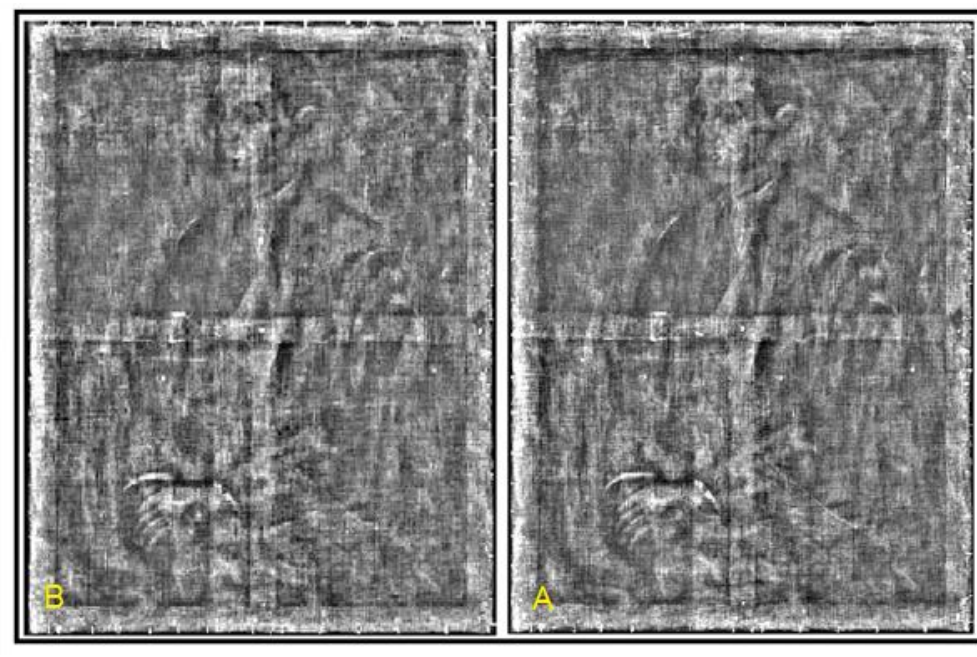
الف

شکل ۷: تصویر بازسازی شده پرتو نگاره‌های (شکل ۲-ب) برای پنج سطح الف - روش هرم گوسی ب - روش هرم لاپلاسی

Fig. 7: The reconstructed image of radiographs (Fig. 2-b) for five levels, A) The Gaussian pyramid method, B) the Laplacian pyramid method

تابلوهای مردمی با آکاردنون و پرتره انسان بعد از پردازش بهبود زیادی نیافته‌اند. علت این امر، پردازش تصاویر بعد از اسکن شدن آن‌ها با اسکنر فیلم بوده است. این دو تصویر به روش پرتوگاری سنتی تهیه شده‌اند ولی برای سایر تابلوها تصاویر بهبودیافته‌اند و جزئیات آن‌ها از نظر داوران بهتر دیده می‌شوند.

برای ارزیابی نتایج حاصل، تصاویر بازسازی شده به رویت سه متخصص پرتوگاری و یک متخصص مرمت و بازسازی آثار باستانی رسید و از آن‌ها خواسته شد که امتیازاتی بین یک تا پنج، به تصاویر پرتو نگاره اصلی و تصاویر بازسازی شده با دو روش، اختصاص دهند. نتایج این ارزیابی برای هفت تابلوی مذکور برحسب درصد در جدول ۲ ثبت شده است. بررسی نتایج نشان می‌دهد که



الف

شکل ۸: تصویر بازسازی شده پرتو نگاره‌های (شکل ۲-ث) برای پنج سطح الف - روش هرم گوسی ب - هرم لاپلاسی

Fig. 8: The reconstructed image of radiographs (Fig. 2-c) for the five levels A) Gaussian pyramid method, B) Laplace pyramid

جدول ۲: درصد امتیازات متخصصان به پرتو نگاره‌های اصلی و بازسازی شده با دو روش هرم گوسی و هرم لاپلاسی  
Table 2: Percentage of experts' scores on original and reconstructed radiographs by Gaussian pyramid and Laplace pyramid methods

Name of painting	Original radiograph	Reconstructed by Gaussian Pyramid method	Reconstructed by Laplacian Pyramid method
The burial of the sardine, B-,	68%	92%	91%
Scenery	72%	93%	94%
Man with Accordion, by Genaro Lahuerta,	92%	92%	92%
Portrait of man,	93%	92%	91%
Two ladies,	81%	96%	96%
Lady	81%	96%	95%
Still Life with Pears by Valentine Durban	79%	91%	91%

### پی‌نوشت‌ها

1. Multi Spectral Imaging
2. Scanning Electron Microscope Equipped with X-ray energy Diffraction Spectroscopic analysis
3. Non-destructive testing or Non-destructive evaluation
4. Computed Radiography
5. Phosphor plate
6. Noise
7. Down-sampling
8. Up-sampling
9. Peak Signal to Noise Ratio
10. Mean Square Error
11. MATLAB

### ۵. نتیجه‌گیری

در این مقاله، از پرتونگاری برای بررسی نقش‌های پنهان تابلوهای اثری استفاده شده است. بررسی‌ها نشان می‌دهند که استفاده از این روش در آشکارسازی نقوش، بدون ایجاد اثرات تخربی روی تابلو کارایی خوبی دارد. همچنین برای بهتر دیده شدن نقوش از روش‌های پردازشی هرم گوسی و هرم لاپلاسی استفاده شد که بر اساس ترکیب پنجراه‌ای پیکسل‌ها کار می‌کند. با این دو روش قسمت مات‌کننده تصویر استخراج شده و با کم کردن از تصویر اصلی، تصویری با جزئیات بهتر به دست آمده است. نتایج نشان می‌دهند که هر دو روش پردازشی کارایی یکسانی دارند و از نظر متخصصان هردو به یک اندازه در بهبود تصویر تأثیر دارند.

### References

- [1] Hadadi M, Mohammdi M, Study the repair documents of Golestan, Sahebgheranieh and Farah Abad Palace Tableaus, Ganjine-ye Asnad, Spring 2013; 23(1):86-99. [in Persian]  
[حدادی محمد، محمدی آچاچلوبی محسن، بررسی اسناد تعمیرات تابلوهای کاخ گلستان، صاحبقرانیه و فرح آباد، فصلنامه گنجینه اسناد، سال بیست و سوم، دفتر اول، بهار ۱۳۹۲]
- [2] Maev RG, Gavrilov D, Maeva A, Vodyanoy I. Modern non-destructive physical methods for paintings testing and evaluation. In Proceedings of the 9th International Conference on NDT of Art 2008 May 25 (pp. 25-30).
- [3] Gavrilov D, Maev RG, Almond DP. A review of imaging methods in analysis of works of art: Thermographic imaging method in art analysis. Canadian Journal of Physics. 2014; 92(4):341-64.
- [4] Ghanooni M. Report on the maintenance and restoration of the painting of the camp by the river by Kamal Ol-Molk. Library, Museum and Document Center Islamic Consultative Assembly, 2019.  
[قانونی محسن، گزارش نگاهداشت و مرمت تابلو نقاشی منظره اردواه در کنار رودخانه اثر کمال الملک، کارگاه مرمت موزه مجلس، کتابخانه موزه و مرکز اسناد مجلس شورای اسلامی؛ ۱۳۹۸]
- [5] Afzali N, Vatan-Parast R. Pathology and erosion analysis of oil paintings on Kamal-ol-Molk canvas in Golestan Palace. Athar Journal. Spring 2017, 38(76): 3-76.  
[افضلی نرگس، وطنپرست رسول، آسیب‌نگاری،

- آسیب‌شناسی و تحلیل فرسودگی‌های نقاشی‌های رنگ‌روغن روی بوم کمال الملک در کاخ گلستان، اثر فصلنامه علمی فی هنر؛ بهار ۱۳۹۶.
- [6] Baronti S, Casini A, Lotti F, Porcinai S. Multispectral imaging system for the mapping of pigments in works of art by use of principal-component analysis. *Applied optics*. 1998 Mar 10; 37(8):1299-309.
- [7] Casini A, Lotti F, Picollo M, Stefani L, Buzzegoli E. Image spectroscopy mapping technique for noninvasive analysis of paintings. *Studies in conservation*. 1999 Jan 1; 44(1):39-48.
- [8] Balas C, Papadakis V, Papadakis N, Papadakis A, Vazgiouraki E, Themelis G. A novel hyper-spectral imaging apparatus for the non-destructive analysis of objects of artistic and historic value. *Journal of Cultural Heritage*. 2003 Jan 1; 4: 330-7.
- [9] Fischer C, Kakoulli I. Multispectral and hyperspectral imaging technologies in conservation: current research and potential applications. *Studies in Conservation*. 2006 Jun 1; 51(sup1):3-16.
- [10] Vilaseca M, Pujol J, Arjona M, de Lasarte M. Multispectral system for reflectance reconstruction in the near-infrared region. *Applied optics*. 2006 Jun 20; 45(18):4241-53.
- [11] Cristoforetti G, Legnaioli S, Palleschi V, Salvetti A, Tognoni E. Optical chemical sensors for cultural heritage. In: *Optical Chemical Sensors 2006* (pp. 515-526). Springer, Dordrecht.
- [12] Bonifazzi C, Carcagnì P, Fontana R, Greco M, Mastroianni M, Materazzi M, Pampaloni E, Pezzati L, Bencini D. A scanning device for VIS–NIR multispectral imaging of paintings. *Journal of Optics A: Pure and Applied Optics*. 2008 May 1; 10 (6):064011.
- [13] Arbabi F. Restoration of several pins excavated from Salmabad village in Khosf (South Khorasan). *Bi-annual Journal of Restoration Science and Culture Heritage*; Spring 2018, 5(9):1-11. [in Persian]
- [اربایی فائزه، مرمت چند نمونه سنجاق مکشوفه از سلم آباد خوسف (خراسان جنوبی). دوفصلنامه تخصصی دانش مرمت و میراث فرهنگی؛ ۱۳۹۷.]
- [14] Taft WS, Mayer JW. The science of paintings. *Measurement Science and Technology*, 2001.
- [15] Berezhnoy IE, Postma EO, van den Herik HJ. Authentic: computerized brushstroke analysis. In: *2005 IEEE International Conference on Multimedia and Expo 2005 Jul 6* (pp. 1586-1588).
- [16] B. Raj, "Practical N.D.T.", Alpha Science, 3th edition, 2007.
- [17] Cortz L. *Non-Destructive Testing*. ASM International; 1995.
- [18] Toyserkani H. Nondestructive evaluations, Jahad Daneshgahi, Isfahan, 2015. [in Persian]
- [توبیکانی ح، بررسی‌های غیرمخرب. اصفهان: جهاد دانشگاهی؛ ۱۳۹۴.]
- [19] Bridgman CF. The amazing patent on the radiography of paintings. *Studies in Conservation*. 1964 Nov 1; 9(4):135-9.
- [20] Nacereddine N, Drai R, Benchaala A. Weld defect extraction and identification in radiograms based neural networks. In: *Proc. IASTED International Conference on Signal Processing, Pattern Recognition, and Applications*, Crete, Greece 2002 Jun 25 (pp. 38-43).
- [21] Movafeghi A, Kargarnovin MH, Soltanian-Zadeh H, Taheri M, Ghasemi F, Rokrok B, Edalati K, Rastkhah N. Flaw detection improvement of digitised radiographs by morphological transformations. *Insight-Non-Destructive Testing and Condition Monitoring*. 2005 Oct 1; 47(10):625-30.
- [22] Felisberto MK, Lopes HS, Centeno TM, De Arruda LV. An object detection and recognition system for weld bead extraction from digital radiographs. *Computer Vision and Image Understanding*. 2006 Jun 1; 102(3):238-49.
- [23] Daubechies I, Defrise M, De Mol C. An iterative thresholding algorithm for linear inverse problems with a sparsity constraint. *Communications on Pure and Applied Mathematics: A Journal Issued by the Courant Institute of Mathematical Sciences*. 2004 Nov; 57(11):1413-57.
- [24] Carrasco MA, Mery D. Segmentation of welding defects using a robust algorithm. *Materials Evaluation*. 2004; 62(11):1142-7.
- [25] Carvalho AA, Suita RC, Silva RR, Rebello

- JM. Evaluation of the relevant features of welding defects in radiographic inspection. Materials Research. 2003 Jun; 6(3):427-32.
- [26] Lampert CH, Blaschko MB, Hofmann T. Efficient subwindow search: A branch and bound framework for object localization. IEEE transactions on pattern analysis and machine intelligence. 2009 Jul 17; 31(12):2129-42.
- [27] Mery D, Riffo V, Zuccar I, Pieringer C. Automated X-ray object recognition using an efficient search algorithm in multiple views. In Proceedings of the IEEE conference on computer vision and pattern recognition workshops 2013 (pp. 368-374).
- [28] Liao X, Yuan Z, Zheng Q, Yin Q, Zhang D, Zhao J. Multi-scale and shape constrained localized region-based active contour segmentation of uterine fibroid ultrasound images in HIFU therapy. PloS one. 2014 Jul 25; 9(7):e103334.
- [29] Leavline EJ, Sutha S. Design of FIR Filters for Fast Multiscale Directional Filter Banks. International Journal of u-and e-Service, Science and Technology. 2014; 7(5):221-34.